

무궁화나무의 성분 및 생물활성에 관한 연구(I)

유익동,* 이인경, 유인자, 정동호, 한규훈, 윤봉식

한국과학기술연구원 생명공학연구소

Studies on the Constituents of *Hibiscus syriacus* (I)

Ick-Dong Yoo,* In-Kyoung Lee, In-Ja Ryoo, Dong-Ho Choung,
Kyou-Hoon Han and Bong-Sik Yun

Korea Research Institute of Bioscience and Biotechnology, KIST,
P.O. Box 115, Yusong, Taejon 305-600, Korea

Abstract - *Hibiscus syriacus* L. (Malvaceae) is widely distributed over Korea, China, India and Siberia. The dried flower of *H. syriacus* is used as a folk medicine for curing of hematochezia, dysentery, obstruction due to wind-phlegm, regurgitation, and vomiting of food, and the dried root bark is used as antipyretic, anthelmintic, and antifungal agents. From a chloroform extract of root bark of this plant, compounds I, II, and III were isolated and the structures were elucidated by various spectroscopic analyses. These compounds were identified as syringaresinol, E-N-feruloyltyramine, and Z-N-feruloyltyramine, respectively and were isolated from this plant for the first time. Compounds II and III exhibited lipid peroxidation inhibitory activities with IC₅₀ of 15.5 and 28.6 µg/ml, respectively.

Key words - *Hibiscus syriacus*: Malvaceae; root bark; syringaresinol; E-N-feruloyltyramine; Z-N-feruloyltyramine

무궁화나무(*Hibiscus syriacus* L.)는 아욱과(Malvaceae)에 속하는 낙엽활엽 관목으로 한국, 중국, 인도 및 시베리아등지에 넓리 분포한다. 잎은 난형으로 밑은 쪄기모양이고 간혹 3갈래로 갈라지며 가장자리에 거친 톱니가 있다. 꽃은 짧은 자색으로 7-8월에 피며 단립성으로 액생(腋生)하며 화관(花冠)은 종모양이고 짧은 화경(花梗)이 있다.¹⁾ 예로부터 중국에서는 무궁화 나무의 수피 추출물을 무좀약으로 사용한 것을 비롯, 무궁화나무 추출액은 점활지사(粘滑止瀉), 위장염(胃腸炎), 위장카타르, 장출혈, 피부병, 이질, 대하, 탈황 등에 유효한 것으로 알려져 있다.²⁻⁴⁾ 이에 따라 성분연구도 활발히 이루어져 삼원환 지방산인 malvalic acid 및 sterculic acid, flavone인 saponarin, polyphenol 화합물인 api-

genin-7-O-β-D-glucoside와 taxifolin-3-O-β-D-glucopyranoside, hypoletine-7-O-β-D-glucopyranoside 등⁵⁾을 포함하여 betulin, β-sitosterol, 1,22-docosanediol 및 carotenoid 성분, anthocyanin 성분 등이 분리 보고되었다.⁶⁻⁹⁾ 또한, Yokota 등¹⁰⁾은 수피로부터 canthin-6-one과 항진균활성을 갖는 지방산 lauric acid, myristic acid, palmitic acid 등을 분리한 바 있으며 그 외에도 무궁화의 잎 및 꽃눈으로부터의 다당체에 관한 연구가 수행된 바 있다.^{11,12)} 무궁화의 근피 성분에는 몇몇 항균활성이 존재하는 것으로 밝혀졌으나 이들의 정확한 성분분석에 관한 연구는 미비하다.³⁾ 따라서 항균활성, 지질과산화 저해활성 등의 생물활성을 지표로 무궁화 근피로 부터 새로운 생리활성물질을 탐색함과 동시에 근피의 주요성분을 분석하던 중 syringaresinol(I), E-N-feruloyltyramine(II), Z-N-feru-

*교신저자 : Fax 042-860-4595

loyltyramine(III) 등의 화합물을 분리하였기에 보고한다.

재료 및 방법

실험재료 - 1995년 10월, 대전시 근교에서 무궁화 뿌리를 채취하여 음건 세절한 후 분말로하여 사용하였다. 증거표본은 한국과학기술연구원 생명공학연구소 세포기능제어 R.U. 실험실에 보관되어 있다.

기기 및 시약 - UV/Vis spectrometer는 Kontron Uvicron 930을 사용하였고, FAB-MS는 Kratos Concept-1S FAB mass spectrometer를 사용하였다. NMR spectrum은 Varian Unity 300 및 Varian Unity 500 spectrometer를 사용하였으며, 내부표준물질로는 tetramethylsilane을, 용매로는 CDCl_3 및 CD_3OD 를 사용하였다. Column chromatography용으로, silica gel은 Kiselgel 60 (230-400 mesh)를, Sephadex LH-20은 pharmacia Co., ODS resin은 YMC Co. (lot No. 51252) 제품을 사용하였으며, silica gel TLC에는 Merck사의 No. 5715 및 5744를, 역상 TLC (RP)에는 Merck사의 No. 15389를 사용하였으며, 기타 시약은 일급시약을 사용하였다.

추출 및 분리 - 음건, 세절한 무궁화 뿌리 1.6 Kg을 MeOH에 1일 침지하여 2회 추출한 후 감압하면서 용매를 제거하고, CHCl_3 을 가하여 3회 추출하였다. CHCl_3 층은 감압 농축한 후 hexane-EtOAc (10:1-1:1), CHCl_3 -MeOH(100:1-1:1)을 전개용매로하여 silica gel column chromatography를 실시하였고 용출물은 TLC 분석에 의하여 분획 A, B로 나누었다. 분획A는 재차 silica gel column chromatography(CHCl_3 -MeOH=100:1-5:1)를 행하여 분획 A-1 및 A-2로 나누고 A-1은 MeOH 및 80% MeOH를 전개용매로 Sephadex LH-20 column chromatography를 2회 행한 후 RP TLC (70% MeOH)에 전개하여 R_f 0.65의 화합물 I (18.5 mg)를 얻었다. 분획 A-2는 Sephadex LH-20 column에 가하여 MeOH로 용출하고, ODS column chromatography(70-90% MeOH)를 행한 후 preparative TLC(CHCl_3 -MeOH=10:1, R_f =0.4)를 통하여 화합물 II (15 mg)를 분리하였다. 분획B는 재차 silica gel column chromatography

(hexane-Me₂CO=5:1-1:1)를 행한 후 Sephadex LH-20 column에 가하여 MeOH로 용출하고 preparative TLC(CHCl_3 -Me₂CO=4:1)에 전개하여 R_f 0.2부근의 band를 회수한 후 최종적으로 HPLC(ODS, 10×250 mm, 50% MeOH, 2 mL/min, UV 254 nm)에 의하여 retention time 14 분대의 화합물 III (2.0 mg)을 분리하였다.

지질과산화 저해활성 측정 - Rat liver microsome은 yagi 등의 방법으로 분리하여 100 mM Tris-HCl buffer(pH 7.5)에 혼탁하여 사용하였다. 먼저 마이크로솜(1 mg protein/ml) 10 μl 에 MeOH에 녹인 각 농도의 시료, 500 μM 황화철 용액 25 μl , 100 mM Tris-HCl buffer 0.5 mL, 중류수 0.45 mL을 혼합한 후 37°C에서 30분 동안 배양하였다. 배양 후 3M TCA:2.5N HCl을 1:1로 섞은 혼합용액 0.3 mL을 가하여 반응을 중지시키고 3,000 rpm에서 10분간 원심분리하고 상등액 1 mL을 취하여 0.67% TBA용액 0.3 mL과 섞은 후 100°C에서 5분간 가열하고 530 nm에서 흡광도를 측정하였다. 흡광도를 측정한 후 하기식에 의해서 지질과산화 저해율(%)을 계산하였다.

$$\text{저해율} : \frac{A - C}{A - B} \times 100$$

A: 저해제를 넣지 않은 것의 흡광도

B: 저해제와 마이크로솜을 넣지 않은 것의 흡광도

C: 저해제를 넣은 것의 흡광도

항균활성 - *Bacillus subtilis*, *Escherichia coli*, *Salmonella typhimurium*, *Staphylococcus aureus* 등 5종의 세균, *Trichophyton mentagrophytes*, *Fusarium oxysporum* 등의 곰팡이 및 효모 *Candida albicans*에 대하여 항균활성을 측정하였다. 측정방법은 각 시료의 농도를 1 mg /ml로 한 후, paper disk(직경 8 mm)에 40 μl 씩 적용하여 검정용 배지위에 놓고 세균은 2일, 곰팡이는 5일 배양하여 투명환의 크기를 측정하였다.

결과 및 고찰

화합물 I - 화합물 I(Fig. 1)은 흰색분말로 206, 240(sh), 270 nm에서 UV 최대 흡수 peak를 나타내었다. FAB-MS 측정 결과 *m/z* 418 및 419에 피

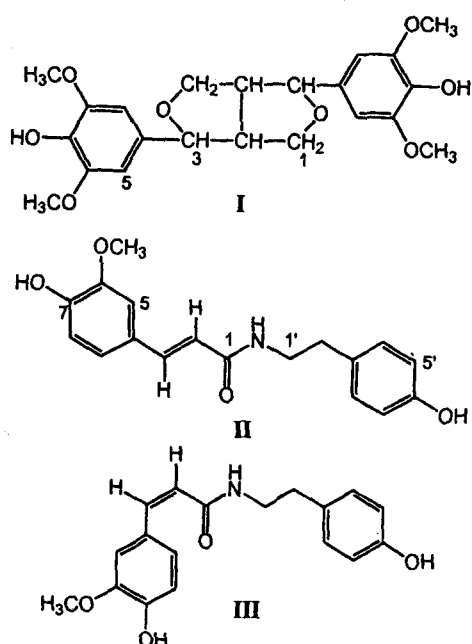


Fig. 1. Structures of compounds I, II and III.

크를 나타내어 본 화합물의 분자량이 417 혹은 418인 것으로 추정되었다. ^1H NMR 측정 결과(CDCl_3 , 300 MHz) 6.58 ppm에서 singlet methine proton 및 3.90 ppm에서 methoxy proton, 4.73과

3.10 ppm에서 methine proton 및 3.90, 4.28 ppm에서 비등가 methylene proton으로 사료되는 signal들이 관찰되었다. ^{13}C NMR 및 DEPT 실험에 의하여 3개의 sp^2 사급탄소, 한개의 sp^2 methine 탄소, 2개의 sp^3 탄소에 유래하는 signal들이 관찰되었다(Table I). 그러나 이들 ^1H 및 ^{13}C signal의 수가 FAB-MS 측정으로부터 추정된 분자량에 비하여 현저히 적어 본 화합물의 구조가 symmetrical dimer일 것으로 추정되었다. ^1H NMR signal의 irradiation 실험에 의하여 본 화합물의 구조 중 -CH-CH-CH₂-의 부분구조가 존재함을 알 수 있었으며, 평면구조는 HMBC 실험에 의하여 결정되었다. 즉 6.58 ppm의 방향족 methine proton으로부터 132.0, 102.7, 134.2, 147.2 ppm의 sp^2 탄소에 long-range coupling이 관찰되었고 5.49 ppm의 hydroxy proton으로부터 134.2 및 147.2 ppm의 탄소에 각각 long-range coupling이 관찰되어 3,5-dimethoxy-4-hydroxylbenzene 환의 존재가 밝혀졌다. 또한, 4.73 ppm의 methine proton으로부터 132.0, 102.7 ppm의 탄소에 long-range coupling이 관찰되어 4.73 ppm의 methine 탄소에 benzene 환이 결합하고 있음을 알 수 있었다. Fig. 2에 나타낸 바와같이 그 의의

Table I. ^1H and ^{13}C NMR spectral data for 1 in CDCl_3 and 2 and 3 in CD_3OD ($^1\text{H-NMR}$: 300 MHz, $^{13}\text{C-NMR}$: 75 MHz)

No.		1	2	3
	δ_{C}	δ_{H}	δ_{C}	δ_{H}
1	72.0	3.90, 4.28 (m) ^a	169.3	
2	54.3	3.10 (m)	118.8	6.49 (d, 15.3)
3	86.3	4.73 (d, 4.2)	142.0	7.43 (d, 15.3)
4	132.0		128.2	
5	102.7	6.58 (s)	111.6	7.11 (d, 1.8)
6	147.2		149.4	
6-OCH ₃	56.5	3.90 (s)	56.3	3.88 (s)
7	134.2		149.8	
7-OH		5.49 (brs)		
8	147.2		116.9	6.79 (d, 8.4)
9			123.4	7.02 (dd, 8.4, 1.8)
1'			42.5	3.46 (t, 6.9)
2'			35.8	2.75 (t, 6.9)
3'			131.1	
4', 8'			130.8	7.05 (d, 8.7)
5', 7'			116.7	6.71 (d, 8.7)
6'			157.0	

^aProton resonance multiplicity and coupling constant (Hz) in parenthesis.

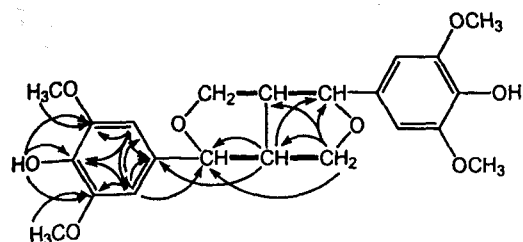


Fig. 2. Planar structure of compound I elucidated by the HMBC data.

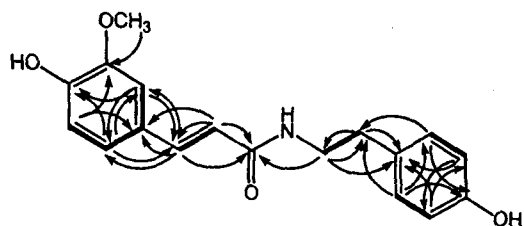


Fig. 3. Planar structure of compound II elucidated by the HMBC data.

HMBC data를 근거로 본 화합물의 화학구조가 Fig. 1에서 보여진 것처럼 결정되었다. 화합물 I의 분자식 및 화학구조를 근거로 database 검색을 실시한 결과 본 화합물은 syringaresinol로 판명되었다. Syringaresinol은 (+)- 및 (-)-form이 존재하나 본 화합물은 선광도를 나타내지 않아 (+)-, (-)-form의 혼합물로 추정되었다. Syringaresinol은 *Liriodendron tulipifera*로부터 처음 분리 보고되었으며 그 후 Deyama 등¹³⁾에 의하여 *Eucalyptus ulmoides*에서도 분리 보고된 바 있다. 본 연구에 의하여 *Hibiscus syriacus*에도 이 같은 성분이 함유되어 있음을 알 수 있었다.

화합물 II - 화합물 II(Fig. 1)는 백색 분말로 획득되었으며 UV 측정 결과 200, 220, 295, 317 nm에서 UV 최대 흡수 peak를 나타내었다. FAB-MS 측정 결과 m/z 314에서 $(M+H)^+$ 를, m/z 336에서 $(M+Na)^+$ 를 나타내어 본 화합물의 분자량이 313임을 알 수 있었고 또한 분자량으로부터 본 화합물이 적어도 홀수개의 질소를 포함하고 있음을 추정할 수 있었다. 1H NMR 측정 결과 각 proton 간의 결합상수로부터 1,4-disubstituted benzene 환 및 1,3, 4-trisubstituted benzene 환의 존재를 알 수 있었고 이 외에 상호간에 *trans* 결합(15.3 Hz) 한 2개의 olefinic methine proton, 서로 이웃하고 있는 2개의 methylene proton 및 한 개의 methoxy proton이 관찰되었다. 1H 및 ^{13}C NMR data를 Table I에 나타내었다. 1H NMR spectrum의 해석에 의하여 밝혀진 각 부분구조는 HMBC 실험에 의하여 연결되었으며 각 HMBC signal의 해석 결과를 Fig. 3에 나타내었다. 즉 6.49 및 7.43 ppm의 methine proton들로부터 169.3 ppm의 carbonyl

탄소에 long-range coupling이 관찰되었고 또한 7.43 ppm의 proton으로부터 128.2, 111.6, 123.4 ppm의 탄소에, 3.88 ppm의 methoxy proton으로부터 149.4 ppm의 탄소에 long-range coupling이 관찰되어 ferulic acid moiety의 부분구조가 밝혀졌다. 또한, 2.75 ppm의 methylene proton으로부터 131.1 및 130.8 ppm의 탄소에 long-range coupling이 관찰되었고 1'의 1H (3.46 ppm) 및 ^{13}C (42.5 ppm)의 chemical shift로부터 1'의 탄소가 질소와 결합하고 있음을 알 수 있었으며 그 결과 화합물 II의 구조 중 tyramine moiety의 존재가 밝혀졌다. 그 외에 3.46 ppm의 proton으로부터 169.3 ppm의 carbonyl 탄소에 long-range coupling이 관찰되어 화합물 II의 화학구조가 Fig. 1과 같이 결정되었다. 화학구조를 근거로 database 검색을 실시한 결과 화합물 II는 *E-N*-feruloyltyramine으로 밝혀졌다. Feruloyltyramine은 1983년 Fukuda 등¹⁴⁾이 *Tinospora tuberculata*로부터 분리한 alkaloid 화합물이다. 본 연구에 의하여 무궁화나무도 feruloyltyramine을 생성하는 것으로 밝혀졌다.

화합물 III - 백색 분말의 화합물 III(Fig. 1)은 200, 220, 295, 315 nm에서 UV 최대 흡수 peak를 나타내었다. FAB-MS 측정 결과 m/z 314에서 $(M+H)^+$ 를 나타내어 본 화합물의 분자량이 313임을 알 수 있었다. 1H NMR 측정 결과 각 proton 간의 결합상수로부터 1,4-disubstituted benzene 환 및 1,3, 4-trisubstituted benzene 환의 존재를 알 수 있었고 상호간에 *cis* 결합(12.6 Hz) 한 2개의 olefinic methine proton, 서로 이웃하고 있는 2개의 methylene proton 및 한 개의 methoxy pro-

ton이 관찰되었다(Table I). 이상의 물리화학적 특성 및 ^1H NMR spectrum으로부터 본 화합물은 화합물 II와 매우 유사함을 알 수 있었고 따라서 화합물 II와 ^1H NMR spectrum을 비교, 분석하였다. 그 결과 화합물 II는 3, 4번의 olefinic methine proton이 *trans* 결합을 하고 있으나 본 화합물은 *cis* 결합을 하고 있는 Z-N-feruloyltyramine¹⁴⁾으로 밝혀졌다.

생물활성 - 화합물 I, II, III의 지질과산화 저해활성을 vitamin E와 비교하여 조사하였으며 그 결과는 다음과 같다. 화합물 II, III은 각각 15.5, 28.6 $\mu\text{g}/\text{ml}$ 에서 IC_{50} 을 나타내었으며 이는 vitamin E (1.6 $\mu\text{g}/\text{ml}$) 보다 각각 10배, 18배 낮은 활성이었다. 그러나 화합물 I은 50 $\mu\text{g}/\text{ml}$ 에서도 전혀 활성을 나타내지 않았다. 항균활성을 측정 결과 화합물 III이 무좀균 *Trichophyton mentagrophytes*에 대하여 약한 항균활성을 나타낸 반면 그 외의 화합물은 활성을 나타내지 않았다.

결 론

무궁화나무(*Hibiscus syriacus* Linne)의 근피를 CHCl_3 로 추출하고 추출물로부터 3종의 화합물 (I, II, III)을 분리, 정제한 후 물리화학적 및 분광학적 실험을 행하여 그 구조를 규명하였다. 그 결과 화합물 I은 syringaresinol로, 화합물 II는 E-N-feruloyltyramine으로, 화합물 III은 Z-N-feruloyltyramine으로 동정하였다. 무궁화나무에서는 처음으로 분리된 이들 화합물들에 대하여 지질과산화 저해활성을 측정한 결과 화합물 II, III이 각각 15.5, 28.6 $\mu\text{g}/\text{ml}$ 에서 IC_{50} 값을 나타내었다.

인용문헌

- 육창수 (1989) 원색한국약용식물도감. 351. 아카데미서적, 서울.
- 赤松金芳 (1970) 新訂和漢藥. 243. 醫齒藥出版社, 東京.
- Hsu, H. Y., Chen, Y. P., Shen, S. J., Hsu, C. S., Chen, C. C. and Chang, H. C. (1986) Oriental materia medica (a concise guide), 503-504. Oriental healing arts institute, Taiwan.
- Huang, K. C. (1993) The pharmacology of Chinese herbs, 193-194. CRC Press, Tokyo.
- Bandyukova, B. A. (1990) Polyphenol composition of *Hibiscus syriacus*. Khim. Prir. Soedin. 4: 552-553.
- 張恩絹, 康欽樹, 張昭 (1993) Chemical constituents from the bark of *Hibiscus syriacus* L. *Zhongguo Zhongyao Zashi* 18: 37-38.
- Hannay, B. W., Henson, R. D., Thompson, A. C., Gueldner, R. C. and Hedin, P. A. (1972) Identification of carotenoid constituents in *Hibiscus syriacus* L. *J. Agr. Food Chem.* 20: 914-916.
- Kim, J. H., Miyajima, I., Fujieda, K. and Uemoto, S. (1989) Anthocyanidin 3-glucosides and *in vitro* unstable anthocyanins from *Hibiscus syriacus*. *J. Fac. Agr. Kyushu Univ.* 33: 243-251.
- Kim, J. H., Okubo, H., Fujieda, K. and Uemoto, S. (1989) Anthocyanin pigmentation patternings in petals of *Hibiscus syriacus*. *J. Fac. Agr. Kyushu Univ.* 33: 253-258.
- Yokota, M., Zenda, H., Kosuge, T. and Yamamoto, T. (1978) Antifungal constituents in the bark of *Hibiscus syriacus* L. *Yakugaku zasshi* 98: 1508-1511.
- Shimizu, N., Tomoda, M. and Adachi, M. (1986) Plant mucilages. XXXIX. A representative mucilage, "Hibiscus-mucilage SL" from the leaves of *Hibiscus syriacus*. *Chem. Pharm. Bull.* 34: 4133-4138.
- Tomoda, M. and Ichikawa, M. (1987) Plant mucilages. XL. A representative mucilage, "Hibiscus-mucilage SF," from the flower buds of *Hibiscus syriacus*. *Chem. Pharm. Bull.* 35: 2360-2365.
- Deyama, T. (1983) The constituents of *Eucalyptus ulmoides* Oliv. I: Isolation of (+)-medioresinol Di-O-beta-D-glucopyranoside. *Chem. Pharm. Bull.* 31: 2993-2997.
- Fukuda, N., Yonemitsu, M. and Kimura, T. (1983) Studies on the constituents of the stems of *Tinospora tuberculata* Beumee. I. N-trans- and N-cis-feruloyltyramine and a new phenolic glucoside tinotuberide. *Chem. Pharm. Bull.* 31: 156-161.

(1997년 5월 30일 접수)